

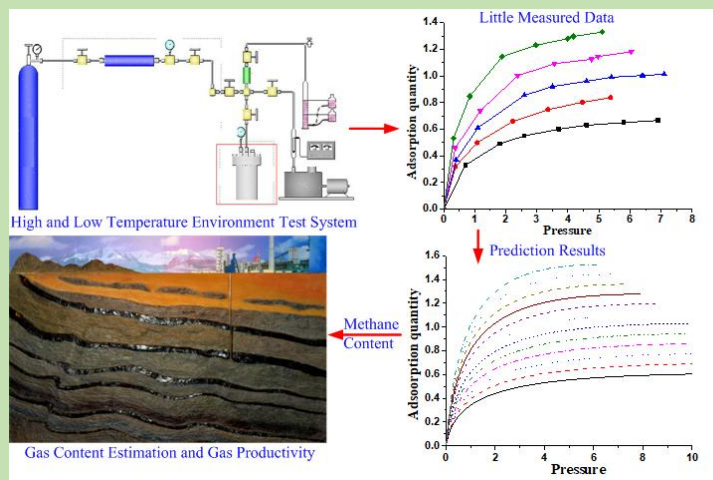


Prediction for CH₄ adsorption isotherm based on DA model

Gaowei YUE*, Chunlin ZENG, Xinjun ZHENG, Liupeng HUO

School of Civil Engineering, Henan Polytechnic University, Jiaozuo, Henan 454000, China

Abstract: Methane adsorption characteristics in coal play an important role in the gas content estimation and gas productivity prediction in coal-bed, one group of methane adsorption data in coal under a certain temperature is only applicable to the adsorption isotherm in this temperature which can't predict methane adsorption capacity under other temperature and pressure conditions. In the practical work, both the coalbed methane resources exploration and the prevention and control of gas disaster in coal mine need to know methane adsorption characteristics in coal seam at certain temperatures and depth. Because there are differences of methane adsorption isotherms at different temperatures, so many adsorption isotherms need to test at each temperature, which will cause high cost and long time. So according to the metamorphic grade of coal, gas-fat coal, cooking coal, meager coal and anthracite coal were chosen as test coal samples, methane isothermal adsorption tests at 243.15, 263.15, 283.15, 303.15 and 323.15 K were carried out with high and low temperature environment test system for gas adsorption and desorption. Based on Dubinin-Astakhov (DA) equation and polanyi adsorption potential theory, the relationships of saturated adsorption quantity and characteristic adsorption energy with temperature can be gotten by fitting the measured data, and then the gas adsorption isotherm of coal at other temperature were predicted. The results showed that the gas adsorption capacity of coal with different metamorphic degree increased with the temperature decreasing, and there had good linear relationships between the gas saturated adsorption capacity and the characteristic adsorption energy of different metamorphic coals, which correlation coefficients reached above 0.98. At the same temperature, as the coal metamorphism degree increases, the methane adsorption amount increases under the same adsorption equilibrium pressure. Under different temperatures the predicted adsorption isotherms of coal based on the DA model with different metamorphic degrees agreed well with the experimental results. The relative error was no more than 5%. With little measured data of isothermal adsorption tests, DA model can accurately predict the adsorption abilities of coal at different temperatures and pressures, which will greatly reduce the workload and provide an important basis to study the coal reservoir adsorption properties.



Key words: DA model; isothermal adsorption curve; high/low temperature environment; theoretical prediction

收稿: 2017-10-20, 修回: 2018-02-01, 网络发表: 2018-07-17, Received: 2017-10-20, Revised: 2018-02-01, Published online: 2018-07-17

基金项目: 国家自然科学基金资助项目(编号: 41772163, 51274090); 河南省高校科技创新团队支持计划资助项目(编号: 17IRTSTHN030)

作者简介: 岳高伟(1977-), 男, 河南省临颍市人, 博士, 副教授, 主要从事煤与瓦斯灾害与防治研究, E-mail: mxlygw@163.com.

引用格式: 岳高伟, 曾春林, 郑新军, 等. 基于 DA 模型的煤表面甲烷吸附线预测. 过程工程学报, 2018, 18(5): 1045-1051.

Yue G W, Zeng C L, Zheng X J, et al. Prediction for CH₄ adsorption isotherm based on DA model (in Chinese). Chin. J. Process Eng., 2018, 18(5): 1045-1051, DOI: 10.12034/j.issn.1009-606X.217375.

基于 DA 模型的煤表面甲烷吸附线预测

岳高伟*, 曾春林, 郑新军, 霍留鹏

河南理工大学土木工程学院, 河南 焦作 454000

摘要:采用高低温甲烷吸附解吸测试系统, 在 243.15, 263.15, 283.15, 303.15 和 323.15 K 下用不同变质程度的煤(气肥煤、焦煤、贫煤和无烟煤等)对甲烷进行等温吸附, 基于微孔填充 Dubinin-Astakhov(DA)模型对其他环境温度下煤的 CH₄吸附等温线进行预测。结果表明, 不同变质程度的煤对甲烷的吸附量均随温度降低而增大, 且饱和吸附量和特征吸附能与温度具有良好的线性关系。模型预测的等温吸附曲线与实验结果吻合较好, 相对误差不超过 5%。

关键词: DA 模型; 等温吸附线; 高低温环境; 理论预测

中图分类号: P618.104 文献标识码: A 文章编号: 1009-606X(2018)05-1045-07

1 前 言

不同温度下煤的吸附等温线是研究煤层吸附性能的重要依据^[1], 煤层气资源勘探开发和煤矿瓦斯灾害防治需利用已知深度煤层在一定温度下的甲烷吸附特性预测不同深度, 不同温度和压力下煤层的甲烷吸附量^[2]。通常通过不同温度下煤的甲烷等温吸附实验获取吸附特征常数, 工作量大, 成本高, 时间长, 所需的深部煤样难以取得^[3]。在某些温度下测得的甲烷吸附等温式不能预测其它温度和压力下煤的甲烷吸附量^[4,5]。

研究者基于 Polanyi 吸附势理论或 Clapeyron-Clausius 方程求解等量吸附热, 对多孔介质的吸附等温线进行预测, 取得了良好效果, 方法是测定各温度范围内的多条吸附等温线, 将等温线拟合为温度的函数, 以较少的吸附等温线数据预测其它温度范围内的等温线^[5]。文献[6,7]对活性炭和石墨的气体吸附等温线进行了预测; 郭为等^[8]利用等量吸附热曲线预测了不同温度下页岩的等温吸附和解吸曲线; 文献[3,4,9-11]基于 Clausius-Clapeyron 方程, 针对煤-甲烷固气吸附体系, 以某几个温度下甲烷的吸附数据预测其它温度下的甲烷等温吸附曲线, 取得良好效果。

本工作基于 Dubinin-Astakhov(DA)模型, 选取气肥煤、焦煤、贫煤和无烟煤, 在 323.15, 303.15, 283.15, 263.15 和 243.15 K 下进行 CH₄等温吸附, 对煤吸附 CH₄等温线进行预测, 验证了 DA 模型的准确性。

2 实 验

2.1 实验装置

高低温甲烷吸附解吸装置如图 1 所示, 主要包括高低温变频控制单元、真空脱气单元、吸附平衡单元和数据实时采集系统。温度由高低温变频实验箱控制, 温度范围 -50~100 °C, 温度偏差 ≤ ±1 °C, 温度波动 ±0.5 °C。

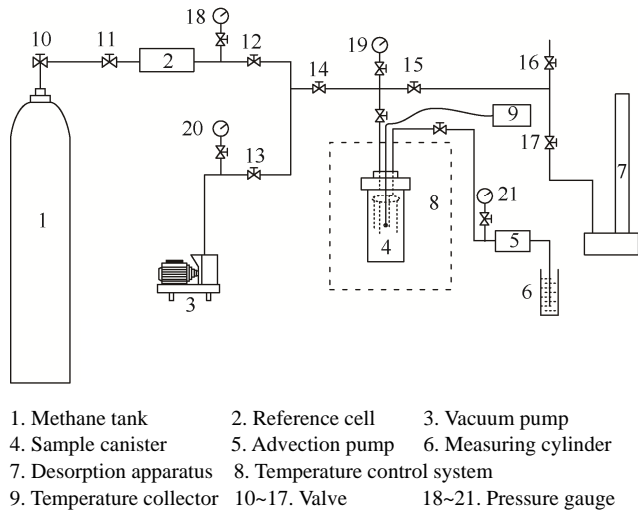


图 1 高/低温吸附装置示意图
Fig.1 Diagram of high/low temperature adsorption device

2.2 实验煤样

选取 4 种不同变质程度的煤样, 分别为潘北气肥煤(Gas-fat Coal, GFC)、吕梁焦煤(Coking Coal, CC)、新元贫煤(Meagre Coal, MC)和焦作九里山无烟煤(Anthracite Coal, AC)。在工作面取新鲜煤样密封保存, 在室内将煤样破碎、粉碎和筛分, 制成符合 GB/T19560-2004 要求粒度 0.180~0.250 mm(60~80 目)的空气干燥基煤样。

2.3 实验方法

按照《煤的高压等温吸附实验方法》(GB/T19560-2008)对不同温度下的煤样进行甲烷吸附性能测试, 主要步骤如下: 取筛选好的干燥煤样放入罐中, 用真空泵抽真空至真空度低于 10 Pa, 将煤样罐置于高低温变频控制箱中, 设定实验温度, 在不同充气压力下进行煤的甲烷吸附量测试。

3 煤的甲烷吸附测试结果及分析

在 243.15, 263.15, 283.15, 303.15 和 323.15 K 温度下不同变质程度煤的 CH₄ 等温吸附曲线如图 2 所示。由图可知, 相同吸附平衡压力下, 随温度降低, CH₄ 吸附量增大。这是因为降低温度减弱了甲烷分子的能量, 更易被吸附, 被吸附的甲烷分子难以获得足够的能量克服物理吸附力返回气相中。相同温度下不同变质程度煤的甲烷吸附等温线趋势一致, 随变质程度增加, 相同

吸附平衡压力下甲烷吸附量增大, 这是因为煤是具有高交联三维空间的非晶质高分子聚合物, 核心结构由许多结构相似但组成不相同的芳香核组成, 随煤变质程度增加, 芳香核层片形状变大、间距减小、定向排列有序, 导致缩合度显著增加, 而吸附能力受控于芳香核缩合程度, 因此随变质程度增加煤的吸附能力逐渐加大^[12]。

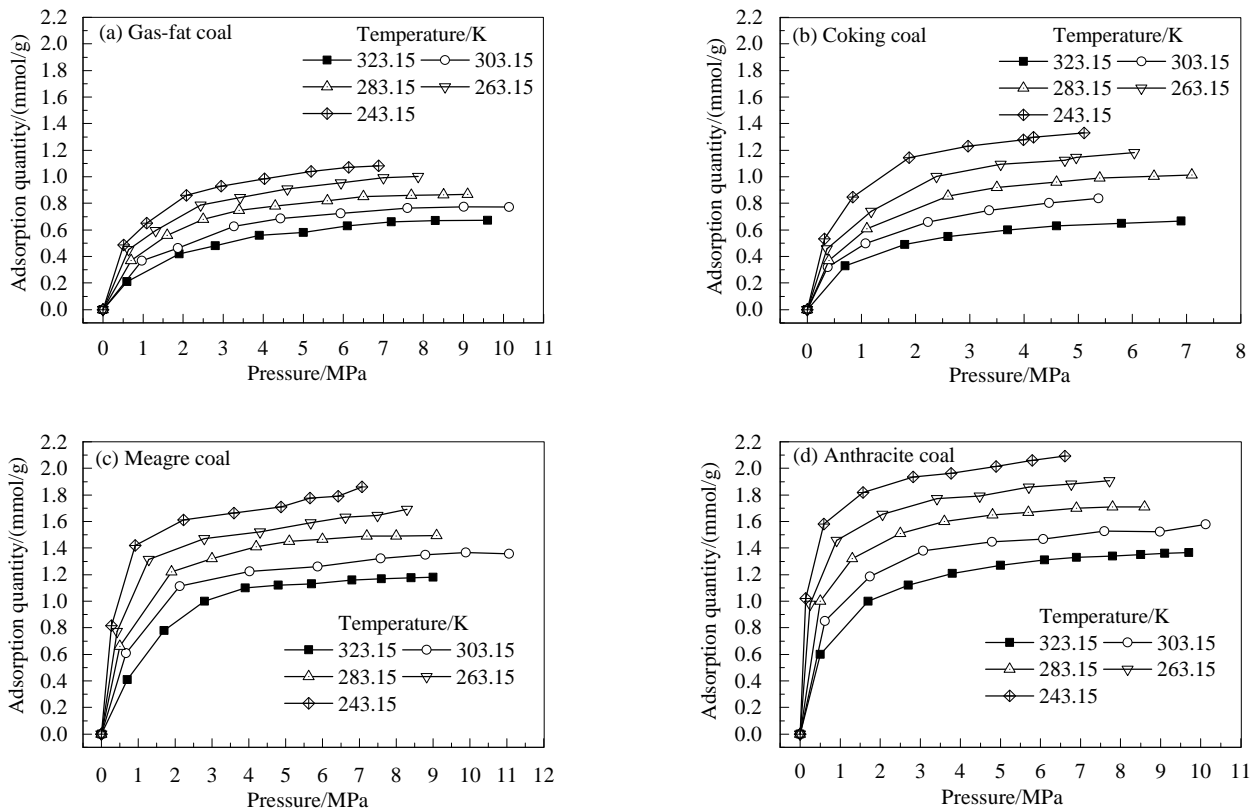


图 2 不同温度下煤的甲烷吸附性能

Fig.2 Methane adsorption isotherm on coal at different temperatures

4 DA 模型的吸附等温线函数

4.1 DA 模型

采用 DA 方程^[13]描述甲烷在煤表面的等温吸附:

$$\theta(p) = \exp[-(\varepsilon / E_0)^\gamma], \quad (1)$$

其中, p 为气体压力(MPa), 吸附饱和度 $\theta=Q/Q_s$, Q 为压力 p 时的吸附量(mmol/g), Q_s 为饱和吸附量(mmol/g), ε 为吸附能(J/mol), E_0 为特征吸附能(J/mol), γ 为与吸附表面特性有关的经验参数, 通常 $1 \leq \gamma \leq 2$ ^[14]。

根据 Polanyi 的吸附势理论,

$$\varepsilon = RT \ln(p_s / p), \quad (2)$$

其中, R 为气体常数[J/(mol·K)], T 为温度(K), p_s 为饱和压力(MPa)。在超临界条件下, p_s 为虚拟值, 用式(3)^[15]

求得:

$$p_s = p_c(T/T_c)^2, \quad (3)$$

其中, 甲烷临界压力 $p_c=4.539$ MPa, 甲烷临界温度 $T_c=190.7$ K。

式(1)变形得:

$$\ln Q = \ln Q_s - [RT \ln(p_s / p)]^\gamma E_0^{-\gamma}. \quad (4)$$

4.2 DA 方程参数的确定

根据图 2 数据, 以 $\ln Q$ 对 $[\ln(p_s/p)]^\gamma$ 作图, 为使式(4)更好地满足线性结果, 对 γ 取值后进行试算, 最终确定 $\gamma=1.9$ 。 $\ln Q$ 对 $[\ln(p_s/p)]^{1.9}$ 作图如图 4 所示, 其线性拟合参数如表 1 所示, 相关系数均达到 0.98 以上。

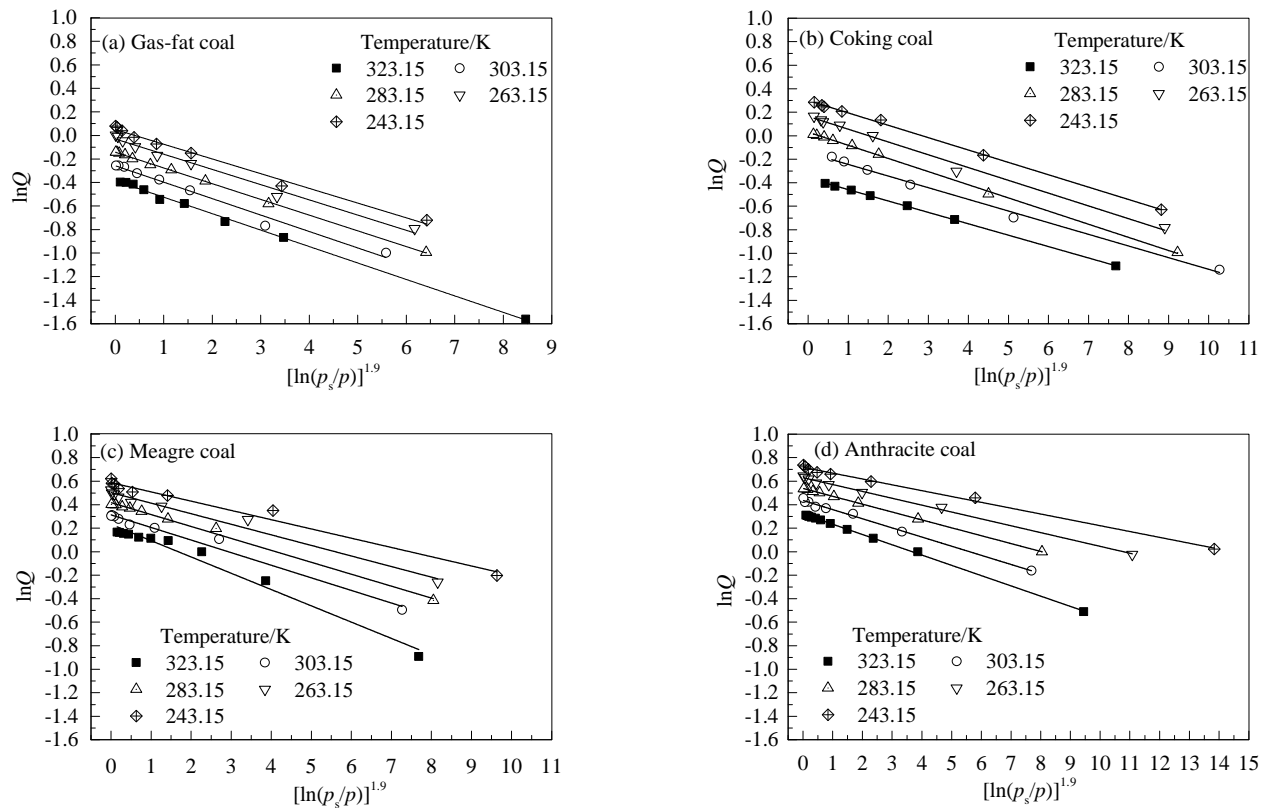


图4 甲烷在煤表面吸附等温线 DA 模型拟合结果
Fig.4 Simulation results of methane adsorption isotherm on coal by DA equation

表1 吸附等温线的 DA 模型线性拟合参数

Table 1 Fitting parameters of linearized DA equation

Coal	Temperature/K	$\ln Q_s$	$[RT/E_0]^{1.9}$	R^2
Gas-fat	323.15	-0.38514	0.13976	0.9971
	303.15	-0.25753	0.13970	0.9822
	283.15	-0.14290	0.13356	0.9991
	263.15	-0.03008	0.12934	0.9842
	243.15	0.05013	0.12500	0.9881
	323.15	-0.36128	0.09696	0.9997
Coking	303.15	-0.14462	0.09919	0.9937
	283.15	0.03086	0.11196	0.9991
	263.15	0.16459	0.10882	0.9910
	243.15	0.31468	0.12015	0.9985
	323.15	0.23242	0.13860	0.9740
	303.15	0.31351	0.10716	0.9796
Meagre	283.15	0.41765	0.10153	0.9937
	263.15	0.50321	0.08994	0.9767
	243.15	0.58780	0.07881	0.9734
	323.15	0.32114	0.08741	0.9994
	303.15	0.43613	0.07783	0.9948
	283.15	0.53867	0.06706	0.9999
Anthracite	263.15	0.63000	0.05845	0.9956
	243.15	0.71817	0.04968	0.9942

由式(4)可得到不同变质程度的煤在不同温度下吸附甲烷的 DA 方程的斜率和截距, 即表 1 中的 $\ln Q_s$ 和 $[RT/E_0]^{1.9}$, 由此可得到饱和吸附量 Q_s 和特征吸附能 E_0 与温度的关系如图 5 所示。从图可看出, DA 模型得到的不同变质程度煤的甲烷饱和吸附量和特征吸附能均

与温度线性相关, 拟合参数如表 2 和 3 所示, 相关系数达到 0.98 以上。

表2 饱和吸附量拟合参数

Table 2 Fitting parameters of saturated adsorption

Coal	A	B	R^2
Gas-fat	1.40138	-0.00549	0.9920
Coking	2.35259	-0.00831	0.9877
Meagre	1.68574	-0.0045	0.9981
Anthracite	1.92748	-0.00494	0.9958

表3 特征吸附能拟合参数

Table 3 Fitting parameters of adsorption energy

Coal	C	D	R^2
Gas-fat	1.48913	0.01870	0.9956
Coking	-2.93763	0.03745	0.9968
Meagre	6.94095	0.00319	0.9816
Anthracite	10.2195	-0.00171	0.9831

5 煤的甲烷等温吸附曲线预测

根据甲烷饱和吸附量 Q_s 和特征吸附能 E_0 与温度的函数关系, 由式(4)可求得不同温度和吸附平衡压力下煤对甲烷的吸附量。以 323.15, 313.15, 183.15, 263 和 243 K 等温吸附线为基准, 预测 293.15 和 253.15 K 下气肥煤、焦煤、贫煤和无烟煤的等温吸附曲线, 并与实验数据对比, 结果如图 6 所示。

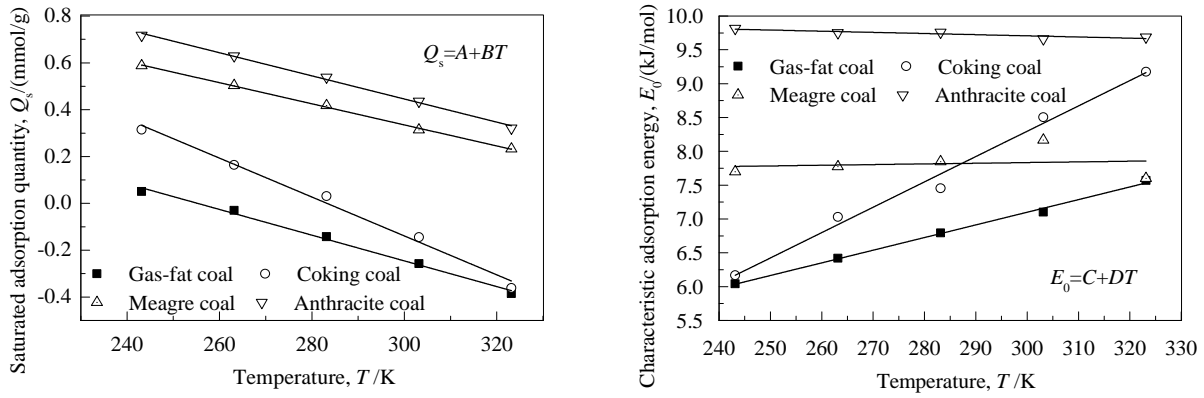


图 5 甲烷饱和吸附量和特征吸附能与温度的关系

Fig.5 Relationship of methane saturated adsorption and characteristic adsorption energy with temperature

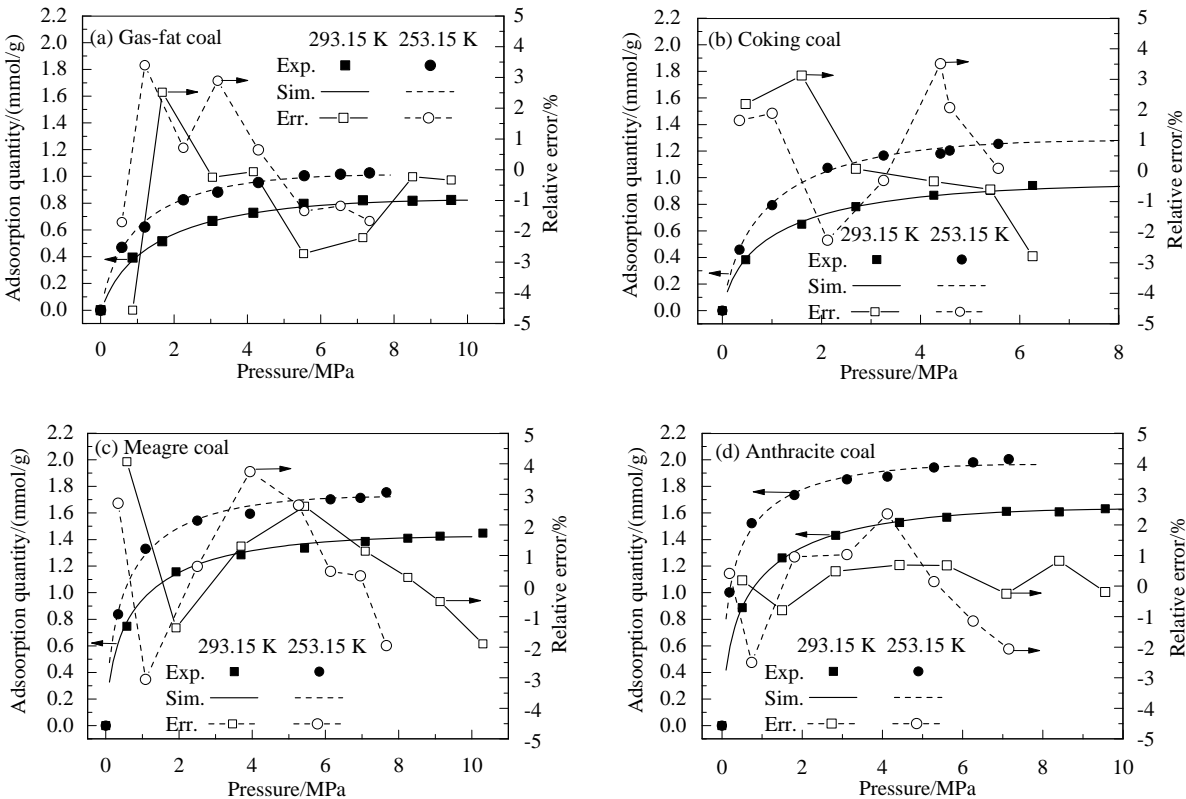


图 6 293.15 和 253.15 K 下等温吸附曲线预测值与实测值对比

Fig.6 Comparison of prediction and experimental values of isothermal adsorption curves at 293.15 and 253.15 K

由图 6 可知, 理论预测值与实验值吻合较好, 相对误差均不超过 5%, 用该方法预测其它温度下煤的甲烷等温吸附曲线可行。采用上述方法, 在高低温环境中(333.15, 323.15, 313.15, 303.15, 283.15, 273.15, 263.15, 243.15, 233.15 和 223.15 K)对煤表面的甲烷吸附等温线进行预测, 部分结果如图 7 所示, 不同变质程度煤的甲烷吸附等温线预测的甲烷吸附量均随温度降低而增大。

6 结 论

在高低温甲烷吸附解吸装置中研究了气肥煤、焦煤、贫煤和无烟煤在不同温度下对甲烷的等温吸附, 基于 DA 模型预测了煤的甲烷吸附等温线, 得到如下结论:

- (1) 对相同变质程度的煤, 相同吸附平衡压力下, 随温度降低, 甲烷吸附量增大; 相同温度下, 随煤变质程度增加, 相同吸附平衡压力下甲烷吸附量增大。
- (2) 不同变质程度煤的甲烷饱和吸附量和特征吸附能均与温度线性相关, 相关系数大于 0.98。

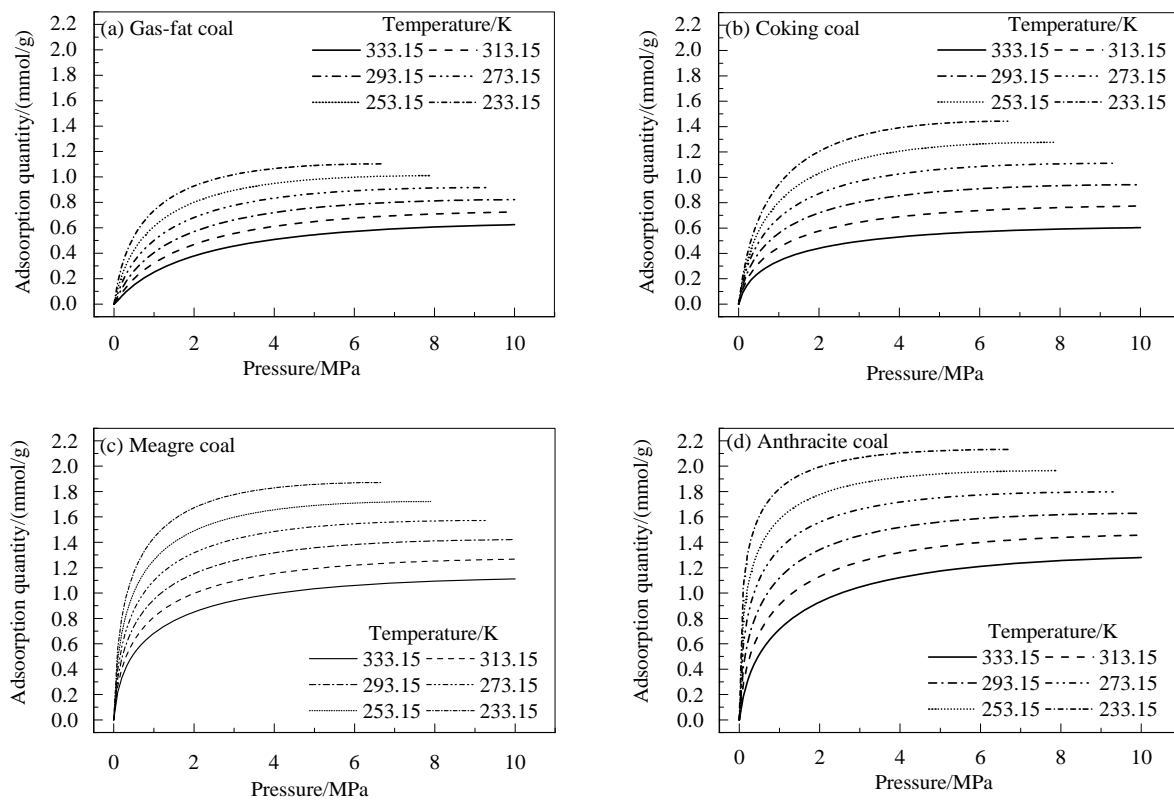


图7 高低温下预测的煤表面甲烷吸附等温线
Fig.7 Isothermal adsorption curves prediction under low/high temperature

(3) 采用 DA 模型预测的气肥煤、焦煤、贫煤和无烟煤的等温吸附曲线与实验结果吻合较好，相对误差均不超过 5%。

参考文献

- [1] 苏现波, 林萌, 林晓英, 等. 吸附势理论在煤层甲烷吸附中的应用 [J]. 中国煤层气, 2006, 3(2): 28–30.
Su X B, Lin M, Lin X Y, et al. Study of methane adsorption on coal with adsorption potential theory [J]. China Coalbed Methane, 2006, 3(2): 28–30.
- [2] 张群, 崔永君, 钟玲文, 等. 煤吸附甲烷的温度–压力综合吸附模型 [J]. 煤炭学报, 2008, 33(11): 1272–1278.
Zhang Q, Cui Y J, Zhong L W, et al. Temperature–pressure comprehensive adsorption model for coal adsorption of methane [J]. Journal of China Coal Society, 2008, 33(11): 1272–1278.
- [3] 岳高伟, 王兆丰, 康博. 基于吸附热理论的煤–甲烷高低温等温吸附线预测 [J]. 天然气地球科学, 2015, 26(1): 148–153.
Yue G W, Wang Z F, Kang B. Prediction for isothermal adsorption curve of coal/CH₄ based on adsorption heat theory [J]. Natural Gas Geoscience, 2015, 26(1): 148–153.
- [4] 陈绍杰, 陈学习, 柏松, 等. 基于吸附势理论的煤–甲烷吸附等温线预测 [J]. 华北科技学院学报, 2009, 6(4): 30–32.
Chen S J, Chen X X, Bai S, et al. Prediction for isothermal adsorption curve of coal/CH₄ based on adsorption potential theory [J]. Journal of North China Institute of Science and Technology, 2009, 6(4): 30–32.
- [5] 胡涛, 马正飞, 姚虎卿. 吸附热预测吸附等温线 [J]. 南京工业大学学报, 2002, 24(2): 34–38.

Hu T, Ma Z F, Yao H Q. Prediction of adsorption isotherms with isosteric heat of adsorption [J]. Journal of Nanjing University of Technology, 2002, 24(2): 34–38.

- [6] 李明, 顾安忠, 鲁雪生, 等. 吸附势理论在甲烷临界温度以上吸附中的应用 [J]. 天然气化工, 2003, (5): 28–31.
Li M, Gu A Z, Lu X S, et al. Study on methane adsorption above critical temperature by adsorption potential theory [J]. Natural Gas Chemical Industry, 2003, (5): 28–31.
- [7] 杜晓明, 吴二冬. 应用吸附势理论研究氢在沸石上的超临界吸附 [J]. 物理化学学报, 2007, 23(6): 813–819.
Du X M, Wu E D. Application of the adsorption potential theory to hydrogen adsorption on zeolites above critical temperature [J]. Acta Physico Chimica Sinica, 2007, 23(6): 813–819.
- [8] 郭为, 熊伟, 高树生, 等. 温度对页岩等温吸附/解吸特征影响 [J]. 石油勘探与开发, 2013, 40(4): 481–485.
Guo W, Xiong W, Gao S S, et al. Impact of temperature on the isothermal adsorption/desorption characteristics of shale gas [J]. Petroleum Exploration and Development, 2013, 40(4): 481–485.
- [9] 姜伟, 吴财芳, 姜玮, 等. 吸附势理论在煤层气吸附解吸研究中的应用 [J]. 煤炭科学技术, 2011, 39(5): 102–104.
Jiang W, Wu C F, Jiang W, et al. Application of adsorption potential theory to study on adsorption–desorption of coalbed methane [J]. Coal Science and Technology, 2011, 39(5): 102–104.
- [10] 苏现波, 林晓英, 赵孟军, 等. 储层条件下煤吸附甲烷能力预测 [J]. 天然气工业, 2006, 26(8): 34–36.
Su X B, Lin X Y, Zhao M J, et al. Prediction on coal adsorption capacity under reservoir conditions [J]. Natural Gas Industry, 2006, 26(8): 34–36.

- [11] 蘭亚兵, 马东民, 刘钰辉, 等. 温度对煤吸附甲烷的影响实验 [J]. 煤田地质与勘探, 2012, 40(6): 24–28.
- Lin Y B, Ma D M, Liu Y H, et al. Experiment of the influence of temperature on coalbed methane adsorption [J]. Coal Geology and Exploration, 2012, 40(6): 24–28.
- [12] 降文萍. 煤阶对煤吸附能力影响的微观机理研究 [J]. 中国煤层气, 2009, 6(2): 19–22.
- Jiang W P. Microscopic mechanism study on the influence of coal rank on adsorption capacity [J]. China Coalbed Methane, 2009, 6(2): 19–22.
- [13] Dubinin M M, Astakhov V A, Radushkevich L V. Physical adsorption of gases and vapors in micropores, progress in surface and membrane science [M]. New York: Academic Press, 1975: 90.
- [14] 郭亮, 吴占松. 超临界条件下甲烷在纳米活性炭表面的吸附机理 [J]. 物理化学学报, 2008, 24(5): 737–742.
- Guo L, Wu Z S. Mechanism of methane's adsorption on nanometer active carbon at supercritical state [J]. Acta Physico Chimica Sinica, 2008, 24(5): 737–742.
- [15] Bering B P, Dubinin M M, Serpinsk W J. Theory of volume filling for vapor adsorption [J]. J. Colloid Interface Sci., 1966, 21: 378–393.